

## دراسة جيولوجية لسهل علان الجنوبي، شمال العراق بإستخدام الجس الجيوكهربائي

مروان متعب على سعد الدين الموالي

قسم علوم الارض

كلية العلوم

جامعة الموصل

(تاریخ الاستلام 2005/3/7 ، تاریخ القبول 2005/5/12)

### الملخص

تضمن البحث الحالي دراسة جيوكهربائية لسهل علان الجنوبي الواقع بين طيتي علان وعطشان غرب مدينة بادوش في شمال العراق. أجريت القياسات الحقلية في ثلاثة وستين محطة جس بترتيب شلمبرجر المتاظر والخطي حيث وزعت على أربعة مسارات تتجه بامتداد شمال شرق-جنوب جنوب غرب عمودية على محاور الطيات المحيطة بمنطقة الدراسة وبلغت أقصى مسافة فاصلية بين قطبي التيار والجهد 843 متراً و 90 متراً على التوالي.

مثلت نتائج التفسير النهائية على هيئة أربعة مقاطع جيوكهربائية وبالمضاهاة المستمرة مع معلومات التتابع السحني الصخاري في لب الطيات المحيطة. تم تشخيص خمسة أنشطة كهربائية تعكس التربة السطحية وترسبات العصر الرباعي وصخور العضو العلوي والسفلي من تكوين الفتحة فضلاً عن تكوين الفرات الجيري.

حددت الدراسة الحالية عدداً من الفوالق المضربية والمتأثرة بالحركة الالبية، فقد تم تشخيص فالق مستعرض يتوجه بامتداد عمودي على محاور الطيات المحيطة حيث أثر بشكل واضح على قيم المقاومية الحقيقية وعلى انتهاء التراكيب المطوية في شرق منطقة الدراسة الحالية. فضلاً عما تقدم فقد تم تحديد الفالق من النوع المضربي الدوراني والذي يمتد باتجاه شرق-غرب، مواز لمحاور الطيات المحيطة بالمنطقة. ويعد الفالق الأخير عنصراً تكتونياً مهماً في الجيولوجيا الإقليمية لشمال العراق إذ يفصل بين كتلتي الموصل الشمالية والجنوبية والمتميزة بتواجد الطيات ذات المحاور الطوروسية والزاجروسية على التوالي.

## Geological Study for the Southern Plain of Alan, North of Iraq Using Geoelectrical Sounding

Marwan Mutib Ali S. Almwaly  
*Department of Geology*  
*College of Science*  
*Mosul University*

### ABSTRACT

The present research involves geoelectrical study of the southern Allan's plain, which lies between Allan and Atshan anticlines, in the north of Iraq. The field

measurements were carried out in sixty three sounding stations, using collinear and symmetrical Schlumberger array, distributed on four traverses (NE-SW direction) across the axes of anticlines surrounding the study area. The maximum interval spacing between both current and potential electrodes has reached 843 and 90 meters consequently.

The final interpretation results were represented with four geoelectrical sections. Continuous correlation with composite stratigraphic columns of surrounding anticlines was made and five electrical zones were distinguished reflecting the Soil, Quaternary deposits, upper and lower members of Al-Fat'ha Formation as well as Euphrates Formation.

This study has specified two strike slip faults affected by the Alpine orogeny. One transversal fault with NE-SW direction is located and clearly affects the true resistivity data and the anticlinal structures plunges in the east of the currently studying area. In addition a rotational strike slip fault has been specified, extending E-W parallel to the axes of the anticlines surrounding the area. The second fault is considered as an important tectonic element in the regional geology of the north of Iraq, this element divides between the Northern and the Southern blocks of Mosul, which is characterized by the existence of Taurus and Zagros trends consequently.

### المقدمة

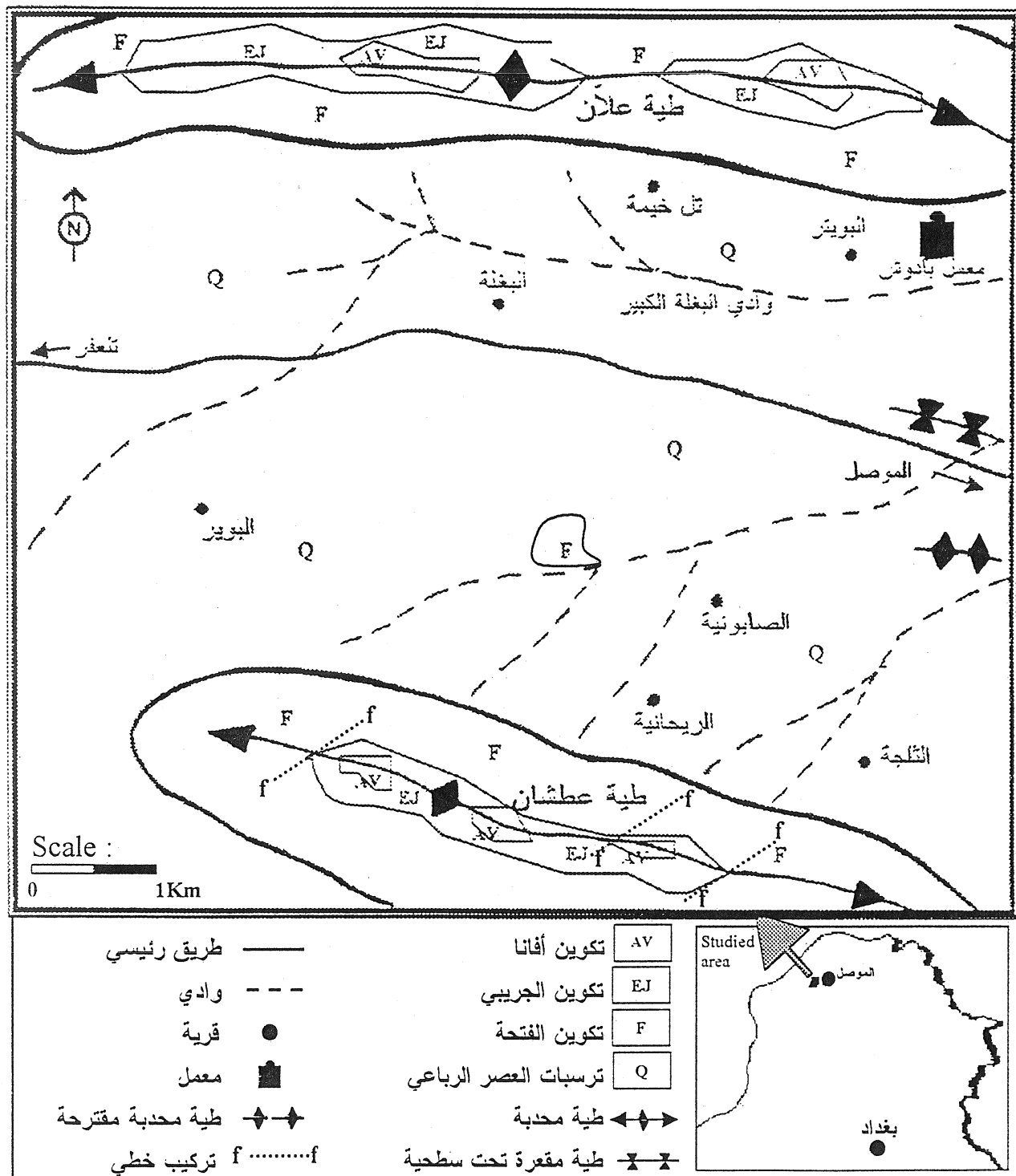
تقع منطقة الدراسة في شمال العراق، على بعد 29 كم غرب مدينة الموصل. وتبلغ مساحة المنطقة المدروسة حوالي  $30 \text{ كم}^2$  حيث يحدها من الشمال جبل علان أمّا في جنوبها فيقع جبل عطشان (الشكل 1). تركيبياً، تحيط المنطقة مجموعة من الطيات المحدبة بمحوري زاجروسي وطوروسى حيث يقع إلى الشمال والغرب تراكيب علان وبطمة ورفان وعين زالة ومسراح وساسان وإشكفت وسنجار بمحاور متوجهة شرق-غرب تقريباً. بينما يقع إلى الجنوب والجنوب الغربي طيات عطشان ونوبيقط وشيخ إبراهيم وعداية باتجاه محوري شمال غرب-جنوب شرق.

يعكس تركيبياً عطشان وعلان اللذان يحيطان بمنطقة الدراسة اتجاهًا محورياً لطيات زاجروس وطوروس على التوالي، حيث يمثل تراكيب عطشان طية محدبة ذات غاطسين بطول يصل إلى 30 كم وعرض 4.5 كم، ويمتد محورها باتجاه شمال غرب-جنوب شرق وتميز بأنها غير متاظرة باتجاه الشمال الشرقي. يميل الجناح الجنوبي الغربي للطية 12 بينما يكون ميل الجناح الشمالي الشرقي أكبر منه (75°). أشار محبي الدين وأخرون (Mohi-Addin et al., 1977) إلى أن هذه الطية تتالف من قبتين، الأولى هي القبة الجنوبية الشرقية (قبة السحاجي) بطول حوالي 12.5 كم. أمّا القبة الشمالية الغربية (قبة الثلاجة) فتمتد حوالي 17 كم، ويفصل هاتين القبتين منخفض صغير على شكل سرج (Saddle). أمّا طية علان المحدبة فهي ثنائية الغاطس غير متاظرة يميل جناحها الجنوبي 18 بينما يميل الجناح الشمالي 10، ويمتد محور الطية باتجاه شمال (85°) غرب ويصل طولها إلى 12 كم تقريباً في حين يبلغ عرض الطية 6 كم.

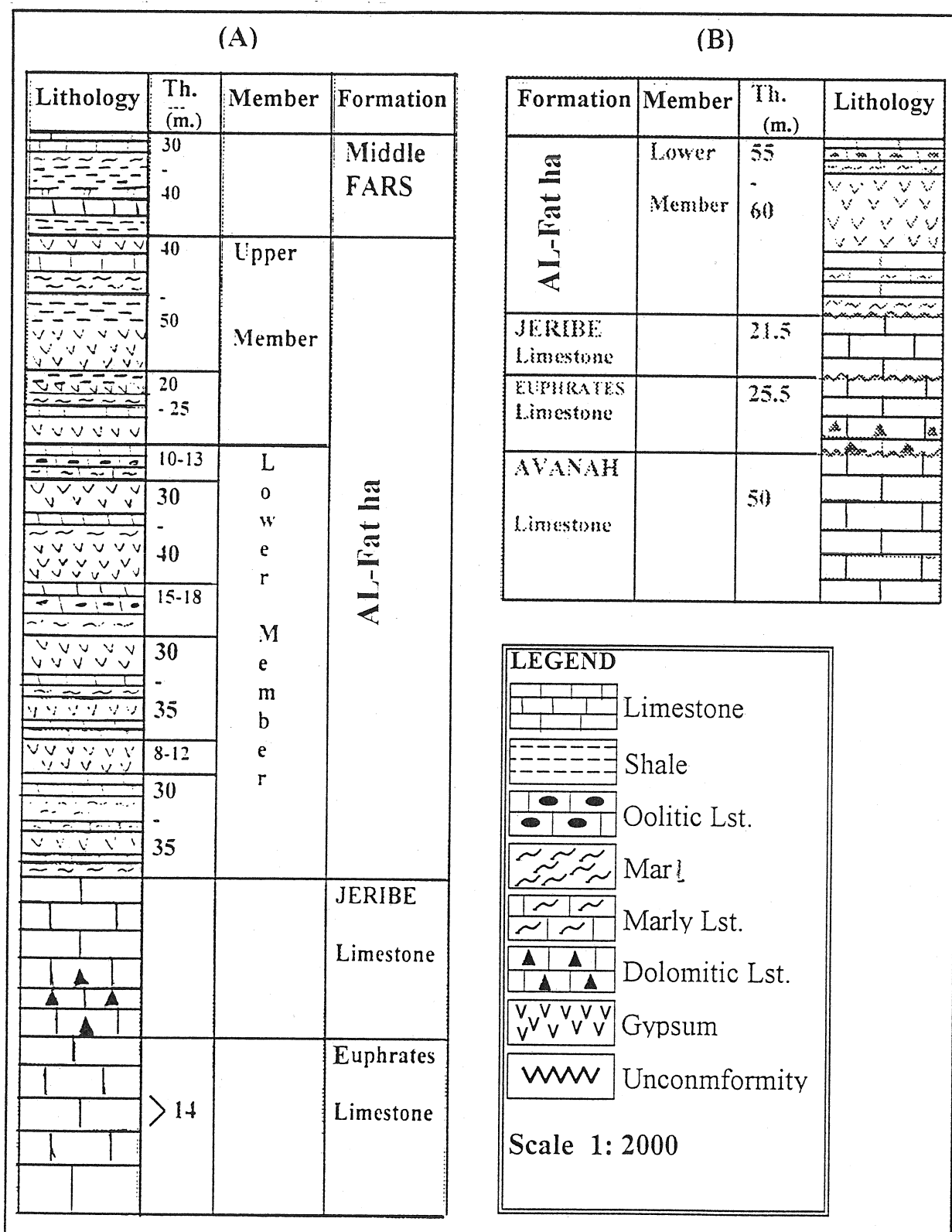
تكتشف تكوينات العصر الثلاثي في لب طيتي علان وعطشان وهي من الأقدم إلى الأحدث عمراً تكوين أفالا الجيري وتكونين الفرات-جريبي وتكونين الفتحة وترسبات العصر الرباعي. وكما موضح في الشكل (2).

تستهدف الدراسة الحالية التعرف على التتابعات السحقية الصخearية (Lithofacies Sequences) وسمكها والخصائص الكهربائية للتكونات الجيولوجية المختلفة الواقعة تحت سهل منطقة الدراسة فضلاً

عن مقارنة نتائج الجس الجيوكهربائي للدراسة الحالية مع بعض التراكيب الخطية الإقليمية ومحاولة دراسة تأثيرها على الجيولوجيا الإقليمية في شمال العراق.



شكل 1: الخارطة الجيولوجية لمنطقة الدراسة محوره عن محي الدين وأخرون (Mohi-Addin et al., 1977).

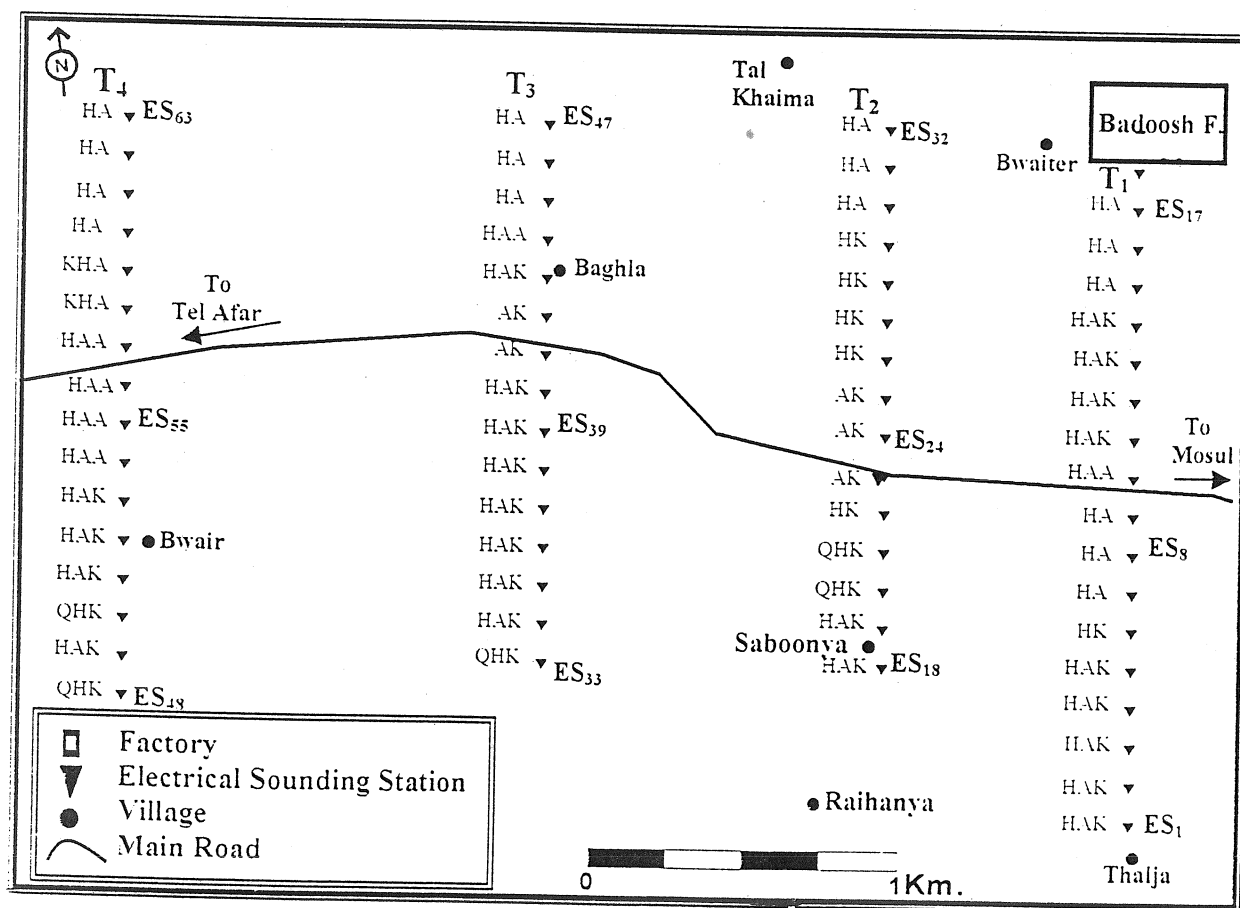


شكل 2 : A- العمود الطبقي المركب لطية علان.  
 B- العمود الطبقي المركب لطية عطشان على وفق المسح الجيولوجي .(Geosurve, 1976)

### القياسات الحقلية - المعالجة والتفسير

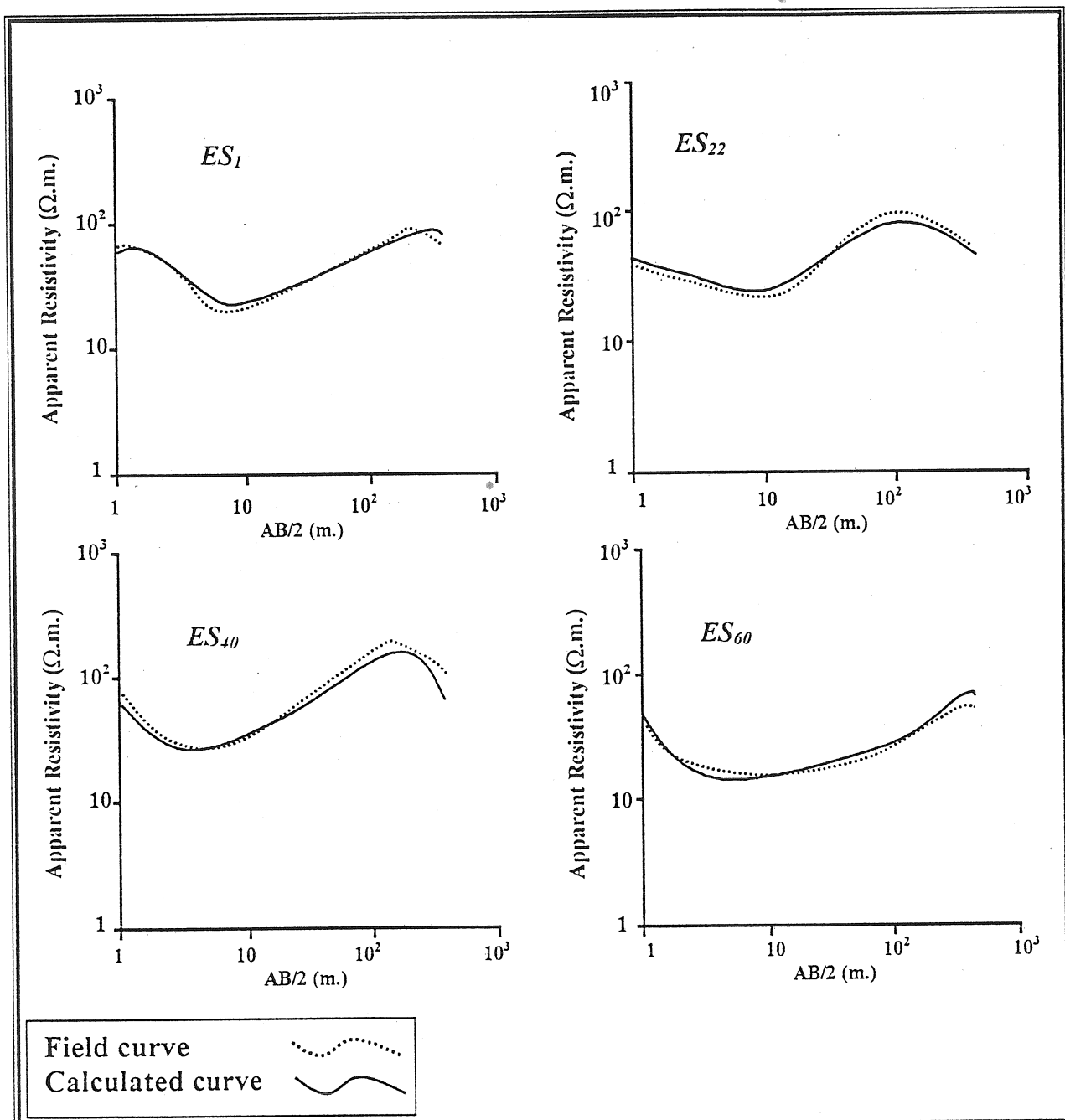
تم استخدام ترتيب شمبلجر المتاظر والخطي من خلال إجراء قياس 63 محطة جس كهربائي عبر أربعة مسارات باتجاه (شمال 5 شرق) عمودية على محور الطيات المحيطة بمنطقة الدراسة حيث بلغت أقصى مسافة بين قطبي التيار 843.4 متراً باتجاه نشر موازٍ لمحور طيري علان وعطشان المحيطتين بمنطقة الدراسة لتلقي تأثير ميل الطبقات إن وجد وقد كانت المسافة الفاصلة بين محطة جس وأخرى 250 متراً بينما تبين المسافة بين مسار وآخر تبعاً لوجود العوائق الطبيعية والاصطناعية كالوديان والمنشآت الصناعية والعسكرية.

يحتوي المسار الأول ( $T_1$ ) على 17 محطة جس والذي يمتد من قرية الثلاجة وحتى معمل سمنت بادوش. بينما يمتد المسار الثاني ( $T_2$ ) من قرية الصابونية والى قرية تل خيمة إذ يضم 15 محطة حقلية. يتتألف المسار الثالث ( $T_3$ ) من 15 محطة جس ويمتد من الجناح الشمالي الشرقي وإلى الجناح الجنوبي من طية علان مروراً بقرية البغة أمّا المسار الرابع ( $T_4$ ) فقد تضمن 16 محطة جس حيث يمتد من شرق قرية أبي كدور مروراً بقرية البوير والى الجناح الجنوبي من طية علان. وبلغت المسافة الفاصلة بين المسارات الأربع  $T_1, T_2, T_3, T_4$  على التوالي 2.2, 1.6 و 2.7 كيلومتراً وكما موضح في الشكل (3).



شكل 3: المسارات ومحطات الجس الجيوكهربائي.

فسرت منحنيات المقاومية الظاهرية المعالجة لمحطات الجس الكهربائي كافة باستخدام طريقتي التطبيق الجزئي والتقارب النهائي. ضبطت النماذج الأولية باستخدام البرنامج KMM الذي أعدد متعب (2000) وبطريقة التقسيم العكسي بالمطابقة الجزئية الرقمية، والشكل (4) يوضح نماذج من المنحنيات الحقلية والمحسوبة لبعض محطات الجس الكهربائي في المنطقة.



شكل 4: نماذج من المنحنيات الحقلية والمحسوبة لبعض محطات الجس الكهربائي.

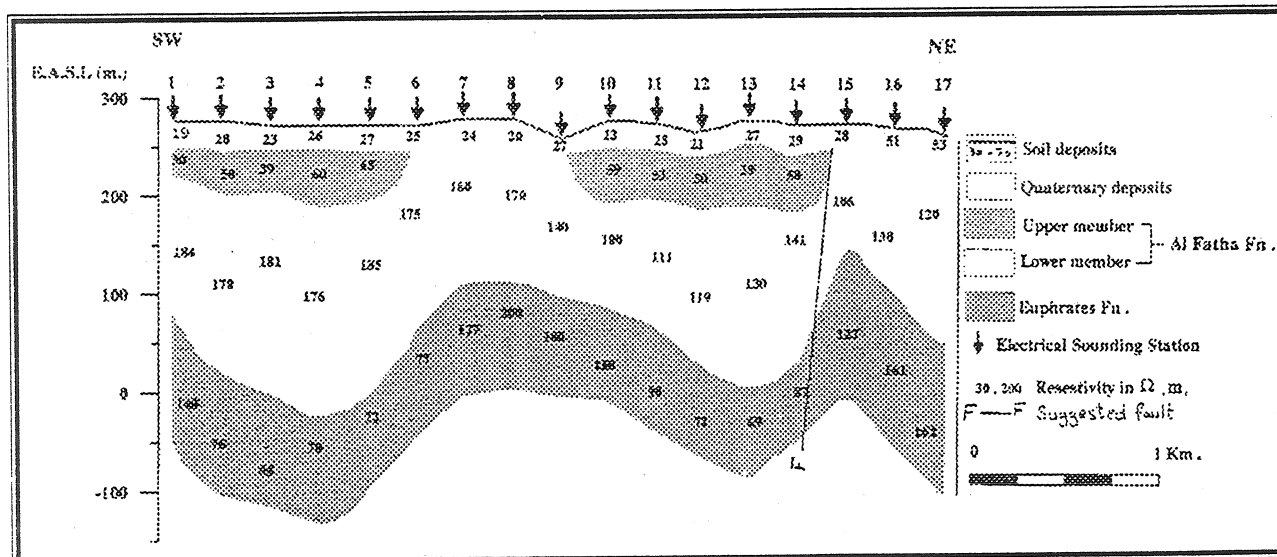
### تفسير المقاطع الجيوكهربائية والمناشرة

#### المقطع الجيوكهربائي الأول (G<sub>1</sub>):

يبين الشكل (5) المقطع G<sub>1</sub> عبر المسار T<sub>1</sub> ظهر خمسة انتفافات كهربائية رئيسة ذات قيم مقاومية متباعدة . يمثل النطاق الأول التربة السطحية التي تتكون من الطفال الطيني والرملي مع قليل من الحصى حيث حددت قيم مقاومية لهذا النطاق بمدى ينحصر بين 30-70 أوم.متر وبسمك 1.5-2.5 متر، أمّا النطاق الثاني والذي يمثل تربات العصر الرباعي فتحصر قيم مقاومية فيه بين 19-53 أوم.متر وبسمك 19-40 مترًا. إن التغير في قيم مقاومية لهذا النطاق يعكس التباين في طبيعة ترباته التي تتكون من الطين والغررين مع شظايا من الحصى والحجر الجيري. وتنوّق هذه النتائج مع الدراسة التي قام بها كل من العاني وداؤد (1992) في الجهة الشمالية الشرقية من منطقة الدراسة الحالية، حيث أشارت تلك الدراسة إلى أن مقاومية تربات العصر الرباعي تتراوح بين 15-64 أوم.متر وبسمك متغيرة يقع بين 9-40 مترًا.

يظهر النطاق الثالث في جزئين يمتدان بالتحديد تحت المحطات من ES<sub>1</sub> وإلى ES<sub>5</sub> ومن ES<sub>10</sub> وإلى ES<sub>14</sub> والذي يعكس صخور العضو العلوي من تكوين الفتحة بقيم مقاومية أعلى (30-65 أوم.متر) من تلك القيم التي يمتلكها النطاق الثاني، أمّا سماكه فينحصر بين 25-75 مترًا . فضلاً عما تقدم فإن هذا النطاق ينعد في جزئين آخرين (ES<sub>6</sub> وإلى ES<sub>9</sub>) (ES<sub>15</sub> إلى ES<sub>17</sub>) في وسط وشمال المقطع الجيوكهربائي الحالي حيث يحل محله النطاق الرابع.

يتميّز النطاق الرابع الذي يمثل العضو السفلي من صخور تكوين الفتحة الجبّية والجيريّة بارتفاع قيم مقاومياتها مقارنة بقيم النطاق الثالث، حيث تتراوح بين 106 إلى 185 أوم.متر وبسمك ينحصر بين 109-210 متر والتي بدورها تتوافق مع قيم مقاومية الحقيقة التي أشارت إليها الدراسات المجاورة للمنطقة حسب ما ذكره متعب (2000).



شكل 5: المقطع الجيوكهربائي الأول (G<sub>1</sub>).

يتضح في النطاق الخامس -عموماً- تناقص قيم المقاومية (70-200 أوم.متر) بالمقارنة مع تلك القيم للنطاق الذي يقع فوقه حيث يمثل النطاق تربات عمر المایوسين الأسفل (تكوين الفرات-الجريبي) والتي تتتألف من الصخور الكاربونيتية المتشققة الحاوية على كميات كبيرة من المياه على وفق الكبيسي (2001). أمّا سماكة تلك التربات الملقطة من خلال الدراسة الحالية فقد تراوحت بين 80-150 متراً والتي تتوافق مع معطيات بئر عطشان العميق المحفور في لب طية عطشان (2986 مترأ).

إضافة إلى ما تقدم فإنه يلحظ تغيراً في أعماق السطحين العلوي والسفلي للنطاق الخامس بهيئة تركيبية إلتوائية تعرية وتحدبية والتي تظهر أيضاً على السطح العلوي للعضو السفلي من تكوين الفتحة، وينفرد هذا السطح والعضو العلوي من التكوين نفسه، ربما بفعل عوامل التعرية التي حدثت قبل تربيب صخور العصر الرباعي فوق اللتواءات التحدبية.

قررت هذه النتائج مع الخارطة الجيولوجية السطحية التي وضعها محيي الدين وأخرون (Mohi-Addin et al., 1977) والتي أشارت إلى وجود طية محدبة وأخرى مقعرة. وتبين حسب الدراسة الحالية أن التحدب التركيبية الواسع الذي يقع تحت المحطات من (ES<sub>4</sub> إلى ES<sub>13</sub>) يمكن أن يمثل امتداداً لتركيب حلية المحدب الذي سبق أن أشارت إليه دراسة متعب (2000) لإقليم الموصل شرق منطقة الدراسة الحالية.

يوضح الشكل (5) أن التركيب عبارة عن طية محدبة غير متاظرة بعرض وسعة 2.25 كم و 125 متراً على التوالي. وينخفض الجناح الشمالي الشرقي 95 متراً بمسافة كيلومتر واحد (أي ميل لا يتجاوز 5.4°) بينما ينخفض الجناح الجنوبي الغربي 120 متراً بمسافة كيلومتر واحد (الميل 7.1°) وبذلك فإن الطية غير متاظرة نحو الجنوب كما يتضح وجود طية مقعرة تقع تحت المحطات من ES<sub>11</sub> وإلى ES<sub>15</sub> سميت بالطية المقعرة SY<sub>1</sub>.

وفضلاً عما تقدم يلاحظ ظهر طية محدبة صغيرة تحت سطحية تقع تحت المحطات من ES<sub>13</sub> إلى ES<sub>17</sub> تمثل تحدب السطوح العليا لتكوين الفرات الجيري والعضو السفلي من تكوين الفتحة مع وجود العضو العلوي من التكوين الأخير بسماكات قليلة وقد ان ترببات العصر الرباعي في قمة هذا التحدب التركيبية والذي أطلق عليه على وفق الدراسة الحالية طية بادوش. وتمثل الطية تركيباً محدباً غير متاظرة بعرض كيلومتر واحد وسعة 110 أمتار حيث ينخفض جناحها الجنوبي 140 متراً بمسافة 0.5 كم (أي ميل 15.6°) أمّا جناحها الشمالي فينخفض 90 متراً بمسافة 0.5 كم (الميل 10.2°) وبذلك فإن الطية غير متاظرة باتجاه الشمال ، وكما يظهر وجود طية مقعرة تتحضر بين طيتي حلية وعطشان تحت المحطات من ES<sub>1</sub> إلى ES<sub>6</sub>.

فضلاً عما سبق فإنه يتبيّن وجود تغير مقاومي جانبي واضح عبر الأنظمة الكهربائية في الجزء الشمالي من المقطع وبالتحديد عند الجناح الجنوبي من طية بادوش ، إذ تتناقض بشكل ملفت للنظر قيم المقاومية في النطاق الرابع (من 141 إلى 106 أوم.متر) والنطاق الخامس (من 127 إلى 87 أوم.متر) مما يدل على احتمالية وجود عنصر نكتوني (فالق) بخصائص كهربائية متغيرة على جانبيه حيث أشار فروليك وأخرون (Frohlic et al., 1996) إلى أن المقاوميات تتغيّر على جهتي الفوالق المضربية، وقام كل من متعب والشيخ (2002) بتشخيص عدد من الفوالق المضربية في إقليم الموصل المجاور لمنطقة الدراسة الحالية. قورن الفالق المقترن أعلاه (F<sub>1</sub>) مع التركيب الخطي الملقط من خلال

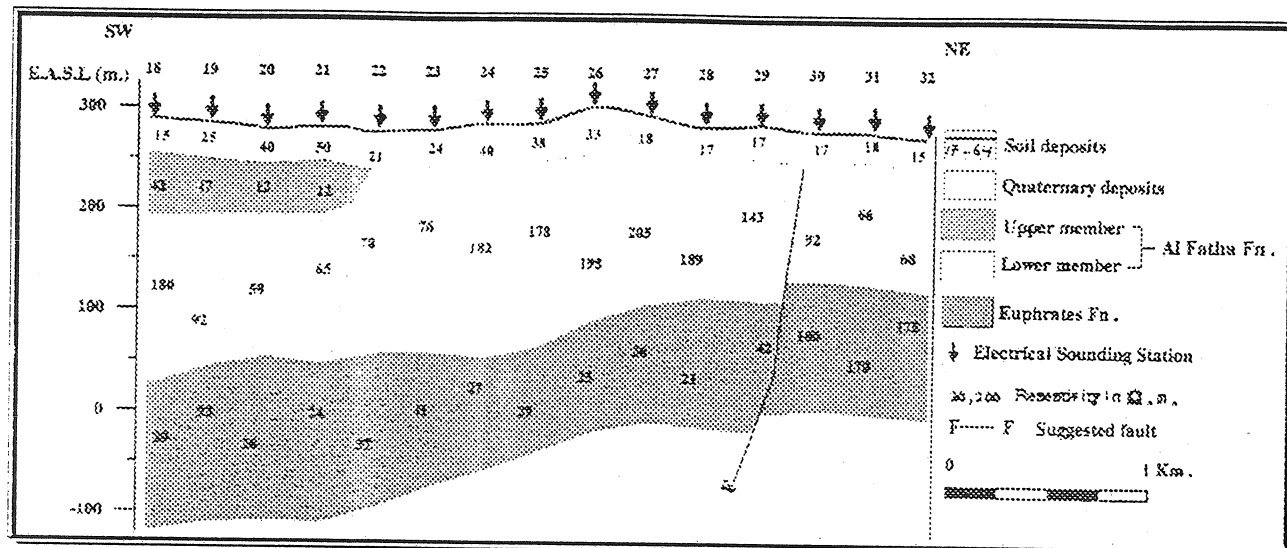
المرئيات الفضائية والصور الجوية حسب ما بيته عمر (1985) والذي يمتد من طيبة عطشان وإلى الغاطس الشرقي لطية علان حيث يقطع المسار  $T_1$  عند المحطة الجسية  $ES_{15}$  وبذلك يتبيّن وجود تطابق كامل بين موقعهما.

#### المقطع الجيوكهربائي الثاني ( $G_2$ ):

يظهر الشكل (6) وجود أربعة أنطقة كهربائية عبر المسار  $T_2$  حيث يمثل النطاق الأول التربة السطحية بمقاومة تحصر بين 17-64 أوم.متر وبسمك 1.5-2.5 متر. يشير النطاق الثاني إلى تربات العصر الرباعي بمدى مقاومي يتراوح بين 15-50 أوم.متر وبسمك 25-50 متراً والتي تتوافق مع القيم المذكورة في المقطع  $G_1$ , وينفقد النطاق الثالث الذي يعكس تربات العضو العلوي من تكوين الفتحة والمشار إليه في المقطع  $G_1$  باستثناء ظهوره المحدود تحت بعض المحطات (من  $ES_{18}$  إلى  $ES_{21}$ ) وبمقاومة متناظرة مخصوصة بين 12-47 أوم.متر وبسمك يتغير بين 50-70 متراً. بينما يمثل النطاق السادس في المحطات الأخرى كافة ضمن المقطع الحالي، صخور العضو السفلي من تكوين الفتحة حيث يظهر فيه تزايد وتفاوت واضح في قيم المقاومة (205-59 أوم.متر) والذي يمكن أن يعزى إلى العمليات التحويرية وظواهر التمدد ونشوء بعض التراكيب الداييرية (Diapiric Structures) للترسبات الجессية الطاغية على صخور العضو السفلي على وفق الملاحظات الحقلية وحسب ما بيته الديوه جي (2001). قورنت تلك الظواهر التمددية مع ارتفاع السطح الطوبوغرافي ووجد تطابق واضح بينهما. ويلاحظ أيضاً تفاوت قيم المقاومة في الجزء الشمالي من المقطع ضمن النطاق نفسه وذلك بتضليل تلك القيم من 143 إلى 92 أوم.متر وبالتحديد تحت المحطة  $ES_{30}$  والتي تمثل التصرف نفسه في الجزء الشمالي من المقطع  $G_1$  كما يتبيّن أن سماكة النطاق ينحصر بين 110-200 متر.

يبين النطاق الرابع والذي يعكس صخور عمر المايوسين الأسفلي ذات التربات الكاربونيتية لتكون في الفرات الجيري، تضليل قيم المقاومة -عموماً- تحت المحطات من  $ES_{18}$  إلى  $ES_{29}$ . بينما يلاحظ تزايد حاد في تلك القيم عند المحطة  $ES_{30}$  حيث ترتفع من 42 أوم.متر إلى 160 أوم.متر. وبذلك يتطابق موقع هذا التغيير في النطاقين الثالث والرابع، وينحصر سماكة النطاق الأخير بين 95-160 متراً.

يتضح مما نقدم أن هناك تغایرًا جانبيًا واضحًا لقيم المقاومة (Lateral Resistivity Contrast) في النطاقين الثالث والرابع في الجزء الشمالي من المقطع  $G_2$  وبالتحديد تحت المحطة  $ES_{30}$ . ويتميز هذا التغایر باختلافه الواضح في النطاقين حيث تتضليل قيم المقاومة في النطاق الثالث باتجاه الشمال بينما يلاحظ تزايد تلك القيم للنطاق الرابع. وبإجراء المضاهاة بين التغایرات الجانبية في المقاومة للمقطع الحالي مع موقع التركيب الخطي الذي يقطع المسار  $T_2$  في جزئه الشمالي وتحديداً عند المحطة  $ES_{30}$ ، ويعتقد انه فالق مضرب إذ أن مثل هذه الفوارق ممكن أن تؤدي إلى تغایر مقاومي حاد على جهتيها على وفق متعب (2000).



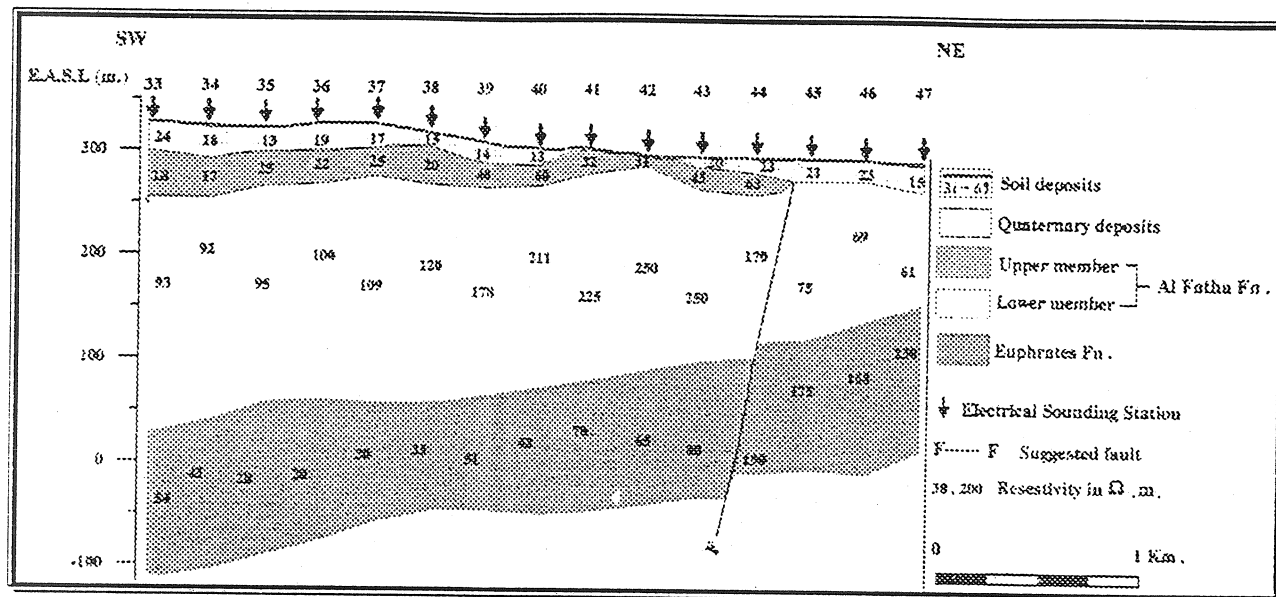
شكل 6: المقطع الجيوكهربائي الثاني (G<sub>2</sub>).

#### المقطع الجيوكهربائي الثالث (G<sub>3</sub>):

يتتألف المقطع G<sub>3</sub> من خمسة أطاق متغيرة السمك والمقاومية حيث يمثل النطاق الأول التربة السطحية التي تغطي المنطقة بقيم مقاومية وسمك تحصر على التوالي بين 18-67 أوم.متر، 2.5-1.5 متر (الشكل 7). أما النطاق الثاني فيعكس تربات العصر الرباعي حيث تتناقص قيم مقاومياته عما هي عليه في المقطعين السابقين وتكون محصورة بين 13-24 أوم.متر. ويصل سمك النطاق إلى 30 متراً إذ ينفرد عند المحطتين ES<sub>41</sub> و ES<sub>42</sub> وتظهر على السطح تربات العضو العلوي لتكوين الفتحة المتمثلة بالصخور الطينية الحمراء. والأخير يمثل النطاق الثالث بقيم مقاوميات تحصر بين 17-63 أوم.متر أما سمه فقد بلغ 15-60 متراً مع ملاحظة فقدان هذا النطاق في الجزء الشمالي من المقطع G<sub>3</sub>.

يشمل النطاق الرابع قيم مقاوميات متغيرة (61-250 أوم.متر) تعكس صخور العضو السفلي من تكوين الفتحة حيث يلاحظ تحديداً وجود مرتفع مقاومي تحت المحطات من ES<sub>39</sub> وإلى ES<sub>44</sub> ويقع في وسط المسار. ويشابه امتداده الموعدي وخصائصه الكهربائية للتركيب الدايبيري الظاهر في المقطع السابق (G<sub>2</sub>)، والذي سمي على وفق الدراسة الحالية بتركيب الصابونية الدايبيري. كما يلاحظ وجود التغير الفجائي الحاد في الجزء الشمالي من المقطع تحت المحطات من ES<sub>45</sub> وإلى ES<sub>47</sub> حيث يشابه الخواص الكهربائية في التحليل للمقطع G<sub>2</sub>.

يظهر النطاق الخامس تزايداً حاداً في المقاومية يبدأ عند المحطة ES<sub>45</sub> باتجاه الشمال بينما تتضاعل عموماً قيم المقاوميات لتصل إلى 20 أوم.متر في الجهة الجنوبية من المسار، أما سمك النطاق فيتراوح بين 100 - 150 متراً. ويشابه موقع المرتفع والمنخفض المقاومي وقيمهم بهذا النطاق في المقطعين G<sub>2</sub> و G<sub>3</sub>.

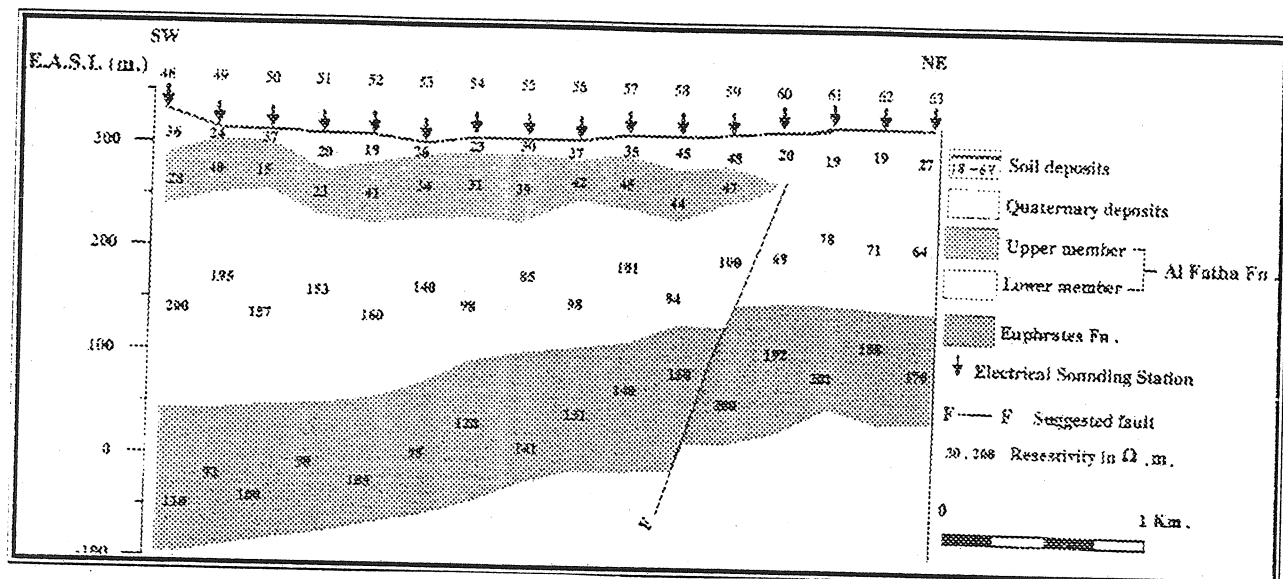


شكل 7: المقطع الجيوكهربائي الثالث ( $G_3$ )

المقطع الحيو كهربائي، الرابع ( $G_4$ ):

يوضح الشكل (8) المقطع G<sub>4</sub> على طول المسار T<sub>4</sub>, حيث يتبين وجود خمسة أنطقة كهربائية، يمثل النطاق الأول تربات التربة بسمك ينحصر بين 1-2.5 متر ومقاومة تتراوح بين 31-69 أوم.متر. أما النطاق الثاني فتعكس قيم مقاومياته (48-19 أوم.متر) تربات العصر الرباعي بسمك متغير بين 39-10 مترًا، بينما يمثل النطاق الثالث رسوبيات العضو العلوي من تكوين الفتحة بقيم مقاوميات تميزها عن الصخور التي تقع تحتها حيث تبلغ 47-15 أوم.متر والتي تتسم تماماً مع تلك القيم المثبتة في المقطوع السابقة أما السمك فيتراوح بين 35-65 مترًا. وتقاوت قيم المقاوميات في النطاق الرابع الذي يعكس صخور العضو السفلي من تكوين الفتحة حيث تتحصر بين 64-200 أوم.متر وبسمك متغير يبلغ 100-210 أمتار.

يلاحظ التغير المقاومي الحاد (153-200 أوم.متر) في الجزء الجنوبي من المقطع الحالي تحت المحطات ES<sub>48</sub>, ES<sub>49</sub> و ES<sub>50</sub> والذي يؤثر أيضاً على النطاق الذي يسبقه بشكل واضح. يعتقد أن هذا التغير في المقاومية ناتج عن ظاهرة التمدد للصخور الجبسية والذي ينتج عنه تركيب دايبيري سمّي بتركيب البوير حيث يتفق بالخصائص الكهربائية مع تركيب الصابونية المشار إليه في المقطعين G<sub>2</sub> و G<sub>3</sub>. وكذلك يظهر تغير مقاومي جانبي حاد في الجزء الشمالي من المقطع تحت المحطة الجبسية ES<sub>60</sub> والذي يؤثر أيضاً في مقاوميات النطاق الخامس تحت المحطة ES<sub>59</sub> حيث تتراوح قيم مقاوميات وسمك النطاق بين 92-201 أوم.متر و 125-185 متراً على التوالي. يمثل النطاق صخور عمر المايوسين الأسفل (تكوين الفرات) المتميز بالشقوق والكسور المتأثرة بعملية التكهف. وبذلك فإن التغير المقاومي الجانبي أعلى يتطابق مع الخصائص الكهربائية والموقع مع ذلك التغير في المقطعين السابقيين (G<sub>3</sub> و G<sub>2</sub>).

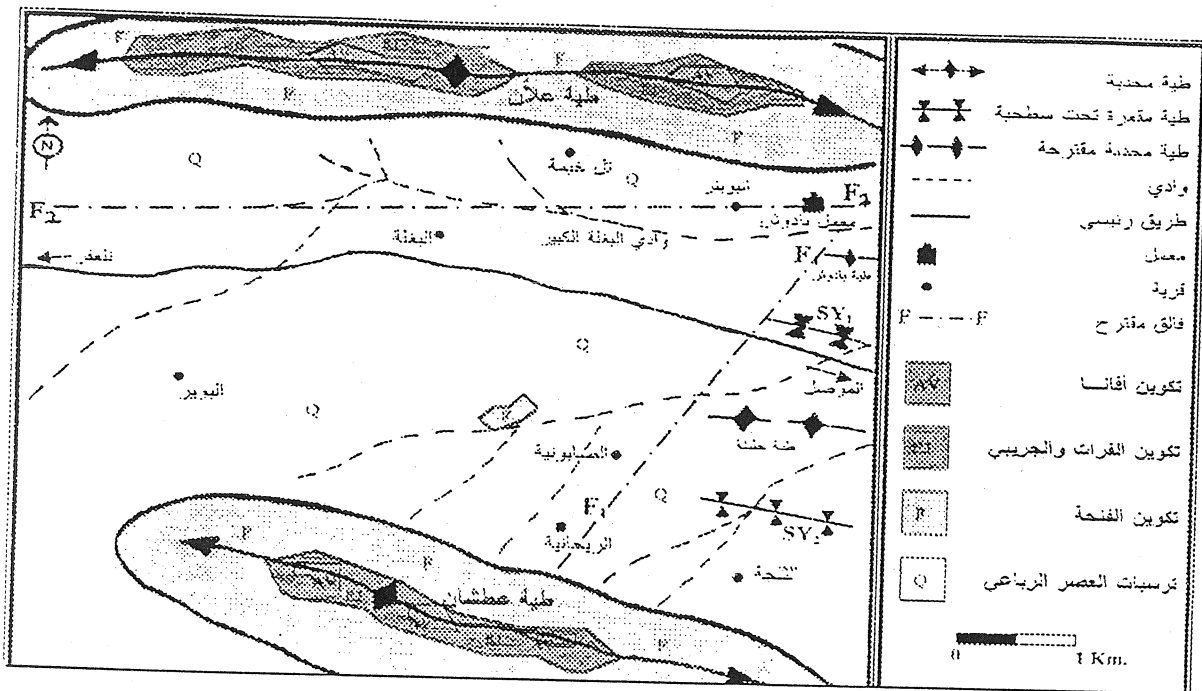


شكل 8: المقطع الجيوكهربائي الرابع ( $G_4$ ).

### الاستنتاج

بيّنت الدراسة الحالية ظهور خمسة أنطـقة كهربائية، يـمثلـنـ النـاطـقـ الأولـ التـرـبةـ السـطـحـيةـ بـمـقاـومـيـةـ وـسـمـكـ اـنـحـصـراـ بـيـنـ 17ـ 90ـ أـمـمـ وـ1.5ـ 2.5ـ مـتـرـ عـلـىـ التـوـالـيـ. أـمـاـ النـاطـقـ الثـانـيـ فـيـعـكـسـ تـرـسـبـاتـ العـصـرـ الـرـبـاعـيـ وـبـمـقاـومـيـةـ تـرـاـوـحـ بـيـنـ 15ـ 53ـ أـمـمـ وـسـمـكـ 19ـ 50ـ مـتـرـاـ. بـيـنـماـ يـظـهـرـ النـاطـقـ الثـالـثـ بـشـكـ مـقـطـعـ فـيـ مـنـطـقـةـ الـدـرـاسـةـ مـمـثـلاـ صـخـورـ العـضـوـ العـلـويـ مـنـ تـكـوـينـ الـفـتـحةـ (ـمـقاـومـيـةـ 12ـ 65ـ أـمـمـ وـسـمـكـ 15ـ 75ـ مـتـرـاـ). أـمـاـ النـاطـقـ الرـابـعـ فـيـمـثـلـ صـخـورـ العـضـوـ السـفـلـيـ مـنـ تـكـوـينـ الـفـتـحةـ بـمـقاـومـيـةـ وـسـمـكـ اـنـحـصـراـ عـلـىـ التـوـلـيـ بـيـنـ 59ـ 250ـ أـمـمـ وـ109ـ 210ـ أـمـتـارـ وـيـعـكـسـ النـاطـقـ الخـامـسـ وـالـأـخـيـرـ الصـخـورـ الـكـارـبـوـنـيـتـيـةـ لـتـرـسـبـاتـ تـكـوـينـ الـفـرـاتـ الـجـيـرـيـ وـبـمـقاـومـيـةـ تـتـغـيـرـ بـيـنـ 21ـ 200ـ أـمـمـ وـسـمـكـ يـتـرـاـوـحـ بـيـنـ 100ـ 185ـ مـتـرـاـ.

لقد أظهرت الدراسة الحالية (الشكل 9) وجود طية محـدبـةـ تمـثـلـ الـامـتدـادـ الغـرـبـيـ لـتـرـكـيبـ حـلـيلـةـ. كماـ لـوـحـظـ عـلـىـ المـقـطـعـ  $G_1$  وجود طـيـةـ محـدبـةـ تـقـعـ شـمـالـ الطـيـةـ السـابـقـةـ لمـ تـشـرـ إـلـيـهاـ أـلـيـةـ درـاسـةـ منـ قـبـلـ وـقـدـ سمـيـتـ محلـيـاـ باـسـمـ طـيـةـ بـادـوشـ المحـدبـةـ. يـبـلـغـ عـرـضـ الطـيـةـ كـيـلـوـمـتـرـ وـاحـدـ وـسـعـتـهاـ 110ـ أـمـتـارـ وـتـتـمـيـزـ بـعـدـ التـنـاظـرـ نحوـ الشـمـالـ. وـيـظـنـ بـأنـهاـ تمـثـلـ الغـاطـسـ الغـرـبـيـ لـطـيـةـ محـدبـةـ تمـدـ شـرقــ غـربـ حيثـ تـخـفـيـ فـيـ سـائـرـ المـقـاطـعـ الجـيـوكـهـرـبـائـيـةـ التـلـاثـةـ فـيـ وـسـطـ وـغـربـ الـمـنـطـقـةـ. إـضـافـةـ إـلـىـ ماـ تـقـدـمـ فقدـ التـقـطـ المـقـطـعـ  $G_1$ ـ اـمـتدـادـ طـيـةـ مـقـعـرةـ (SY<sub>1</sub>)ـ وـاقـعـةـ بـيـنـ طـيـتيـ حـلـيلـةـ وـبـادـوشـ. كـمـ اـتـضـحـ وـجـودـ طـيـةـ مـقـعـرةـ (SY<sub>2</sub>)ـ لـمـ تـكـشـفـ سـابـقاـ تـقـعـ بـيـنـ طـيـتيـ حـلـيلـةـ وـعـطـشـانـ فـيـ جـزـءـ الـجـنـوـبـيـ الشـرـقـيـ مـنـ مـنـطـقـةـ الـبـحـثـ، وـالـتـيـ تـمـ تـحـديـدـهـاـ مـنـ خـلـلـ نـتـائـجـ المـقـطـعـ  $G_1$ ـ، وـقـدـ اـخـتـقـتـ الـطـيـتانـ الـمـقـعـرـتـانـ أـعـلاـهـ وـسـطـ مـنـطـقـةـ الـدـرـاسـةـ وـغـربـهـ. وـتـعـدـ الـطـيـاتـ الـمـحـدبـةـ وـالـمـقـعـرـةـ أـعـلاـهـ مـنـ النـوـعـ التـكـتوـنـيـ وـذـلـكـ لـاـنـقـاطـهـمـ عـلـىـ كـافـةـ السـطـوـحـ لـلـتـكـوـينـاتـ الصـخـرـيـةـ فـيـ التـتـابـعـ الـطـبـاقـيـ ضـمـنـ الـمـسـارـ الـأـولـ.



شكل 9: الخارطة الجيولوجية النهائية للمنطقة على وفق الدراسة الحالية.

فضلاً عما تقدم فقد أظهرت نتائج المسح المقاومي الحالية وجود تركيب تحديبي (الشكل 9) ناتج بفعل ظاهرة تمدد الصخور الجبسية السميكة والعمليات التحوييرية حيث أظهرت الدراسة الحالية تركيباً دايبيرياً يغطي وسط المنطقة إذ يمتد باتجاه شرق-غرب بطول 3.5 كم وعرض 2 كم وسمّي محلياً طية الصابونية الدايبيري. كما تم تحديد تركيب دايبيري آخر (طية البوير) يقع في الجزء الجنوبي الغربي من منطقة الدراسة عند الغاطس الشمالي الغربي لطية عطشان. ويشابه هذا التركيب في خصائصه الكهربائية طية الصابونية حيث لم تستطع الدراسة الحالية أن تحدد الامتداد التركيبية له بسبب التقاطه على الجزء الجنوبي من المسار  $T_4$ . وقد بينت الدراسة أنَّ التركيبين السابقين لا يؤثران على امتداد سطوح التكوينات الجيولوجية التحتية بل ينحصر تأثيرهما على صخور تكوين الفتحة وطوبوغرافية المنطقة مما يمكن أن يدل على أنَّ اصل التركيب ليس تكتونيّا.

حددت الدراسة الحالية وجود فالقين تم التقاطهما من خلال المقاطع الجيوكهربائية وقورون موقع الفالقين وإمتدادهما وتأثيرهما مع نتائج الدراسات الجيولوجية والتكتونية والجيوكهربائية السابقة، وتبيّن أنَّ التركيب الخطي  $F_1$  يعكس فالقاً مضربياً يمتد من طية عطشان وإلى الغاطس الشرقي لطية علان ويمتد هذا الفالق شمال شرق-جنوب غرب حيث يتضح تأثيره على الجزء الشمالي من التابع المقاومي على المقطع  $G_1$ . لقد بينت نتائج المقاطع  $G_2, G_3$  و  $G_4$  وجود فالق ( $F_2$ ) باتجاه شرق-غرب يقطع تتابعات الأنطقة الكهربائية في الجزء الشمالي من المقاطع أعلى حيث يتضح تغايرًا منسجمًا وأضحاً لقيم المقاومة في شمال وجنوب الفالق  $F_2$  عبر الأنطقة لترسبات عمر الإيوسين والميوسين، وقد تم إجراء المقارنة الدقيقة بين موقع وامتداد الفالق  $F_2$  المكتشف في الدراسة الحالية مع مجموعة من نتائج الدراسات الجيوفيزيائية والتكتونية والتركيب الخطي، فقد أشار عمر (1985) إلى وجود تركيب خطي يمتد من جنوب طية سنجار وإلى جنوب طية علان والذي يتتطابق بدوره مع موقع وامتداد الفالق  $F_2$  المقترن.

وفق الدراسة الحالية، كما سبق وأن شَخّصَتْ الدراسات الجيوفيزياطية للمشهداني (2000) ومتّعب F<sub>2</sub> (2000) امتداد الفالق F<sub>2</sub> على الجهتين الغربية والشرقية من منطقة الدراسة على التوالي، يتميّز الفالق بسطح مائل مقداره 42 درجة تقريباً نحو الجنوب الغربي إذ يقطع التابعات الطابقية في المقاطع الجيوكهربائية الثلاثة، لقد لوحظ وجود تفاوت واضح بمقدار الإزاحة لهذا الفالق حيث بلغت 180 متراً حسب دراسة متّعب (2000) في امتداده الشرقي لمدينة الموصل بينما تضاعفت تلك الإزاحة لتصل إلى أقل من 25 متراً على وفق الدراسة الحالية حيث يعزى ذلك إلى أن الفالق F<sub>2</sub> يعد فالقاً مضريباً دورانياً (العزّاوي، اتصال شخصي).

إضافة إلى ما تقدم فان الفالق المضريبي الدوراني F<sub>2</sub> يفصل بشكل واضح كتلة الموصل الشمالية ذات الطيات الطوروسية والتي تمتد باتجاه شرق-غرب والمتمثلة بطيات علان وساسان وإشكفت وبطمة وسنجار وعين زالة الواقعة إلى الشمال من الفالق، عن كتلة الموصل الجنوبيّة ذات الطيات الزاجروسية باتجاه شمال غرب-جنوب شرق والمتمثلة بطيات عطشان وعداية ونويقط وقليان وشيخ إبراهيم. وبذلك بعد الفالق أعلاه ذات أهمية فائقة في التكتونية الإقليمية لشمال العراق. كما يمكن أن يعزى الفالقان أعلاه إلى فعاليات الحركة الألبية (نعمان، اتصال شخصي).

### المصادر العربية

الديوه جي، بسام، 2001. دراسة لنشوء وتطور شبكة الوديان عامة و الوديان العميماء والكارستية خاصة في جبل شيخ إبراهيم شمال غرب الموصل، العراق. المجلة العراقية لعلوم الأرض، المجلد 1، العدد 2، ص 22-11.

العاني، جاسم محمد وداؤد، يعقوب نوح، 1992. دراسة رواسب العصر الرباعي والتتابع الصخري باستخدام طريقة المسح العمودي للمقاومية النوعية الكهربائية، شمال غرب الموصل. مجلة الجمعية الجيولوجية العراقية، المجلد 26، العدد 2، ص 1-15.

الكبيسي، قصي ياسين، 2001. الصفات الهيدروليكيّة لمكمن الجيري الجيري شمال الموصل. المجلة العراقية لعلوم الأرض، المجلد 2، العدد 2، ص 18-24.

المشهداني، عبد العظيم محمود، 2000. أدلة جيوفيزياطية للتراكم تحت السطحية لمنطقة الجزيرة غرب العراق. أطروحة دكتوراه غير منشورة، كلية العلوم، جامعة الموصل، 221 ص.

عمر، عبدالله عامر، 1985. التحليل التكتوني للظواهر الخطية في شمال العراق باستخدام معلومات التحسس النائي. رسالة ماجستير غير منشورة، كلية العلوم، جامعة بغداد، 219 ص.

متّعب، مروان، 2000. إضافات جديدة حول جيولوجية منطقة الموصل في ضوء التحري الجيوكهربائي. أطروحة دكتوراه غير منشورة، كلية العلوم، جامعة الموصل، 163 ص.

متّعب، مروان والشيخ، زهير داود، 2002. دراسة جيوكهربائية استطلاعية لمنخفض الموصل. المجلة العراقية لعلوم الأرض، عدد خاص (الجزء الأول)، ص 74-87.

### المصادر الأجنبية

- Frohlic, R.K., Fisher, J.J. and Summerly, E., 1996. Electric-hydraulic conductivity correlation in fractured crystalline bedrock of central landfill, Rhode Island. USA. Applied Geophysics, Vol.35, pp.249-259.
- Geosurv., 1997. Composit lithological section of Alan and Atshan anticlines. State Organization for Minerals, Baghdad.
- Mohi-Addin, R.M., Sissakian, V.K., Yousif, N.S., Amin, R.M. and Rofa, S.H., 1977. Report on the regional geological mapping of Mosul-Telafar area. Geosurv., Baghdad, Unpub.

